

# 1. Динамическая система. Фазовое пространство. Состояние равновесия. Периодические и квазипериодические траектории.

**Динамическая система** — это математическая модель, описывающая эволюцию состояния системы во времени. Она может быть задана дифференциальными уравнениями (непрерывное время) или итерационными отображениями (дискретное время). Пример: движение маятника, описываемое уравнением  $\frac{d^2\theta}{dt^2} + \gamma \frac{d\theta}{dt} + \sin \theta = 0$ .

**Фазовое пространство** — множество всех возможных состояний системы. Каждая точка в нём соответствует определённому набору переменных состояния (например, координата и скорость для маятника). Размерность пространства равна числу независимых переменных. В консервативных системах фазовый объём сохраняется (теорема Лиувилля).

**Состояние равновесия** — точка в фазовом пространстве, где система остаётся неизменной во времени. Для системы  $\frac{dx}{dt} = f(x)$  это точки, где  $f(x^*) = 0$ . Пример: маятник в положении покоя ( $\theta = 0$ , скорость = 0). Устойчивость определяется линеаризацией:

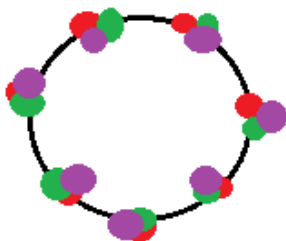
- **Устойчивый узел/фокус** — траектории стремятся к точке.
- **Седло** — неустойчивая точка.
- **Центр** — нейтральная устойчивость (в консервативных системах).

**Периодические траектории** — замкнутые кривые в фазовом пространстве, соответствующие повторяющемуся движению с периодом  $T$ . Пример: колебания маятника без трения. Визуально это **предельный цикл** (для диссипативных систем) или замкнутая орбита (для консервативных).

**Квазипериодические траектории** — движение, складывающееся из нескольких периодических компонентов с несоизмеримыми частотами ( $\frac{\omega_1}{\omega_2} \notin \mathbb{Q}$ ). В фазовом пространстве такие траектории заполняют поверхность тора и никогда не замыкаются. Пример: движение в системе с двумя независимыми осцилляторами ( $\theta_1(t) = \omega_1 t$ ,  $\theta_2(t) = \omega_2 t$ ). От хаотических траекторий отличаются предсказуемостью и отсутствием экспоненциальной чувствительности к начальным условиям.

У квазипериодических траекторий нет точного периода, но есть квазипериод:

$$|x^*(t + T) - x^*(t)| < \varepsilon$$



2. Системы ОДУ. Точечные отображения. Гомео- и диффеоморфизм, Решение ДС, траектория. Поток. Решение точечного отображения. Векторное поле. Пространство ДС. Пространство параметров. Топологическая эквивалентность. Грубые системы. Неблуждающие траектории.

Системой ОДУ  $n$ -го порядка называется совокупность ДУ каждое из которых содержит независимую переменную, искомые функции и их производные:

[illegible]

**2. Точечные (рекуррентные) отображения.** Если в динамической системе независимая переменная (время)  $t$  изменяется дискретно, то приходим к *дискретной* динамической системе:

$$\mathbf{x}_{j+1} = \mathbf{F}(\mathbf{x}_j), \quad \mathbf{x} = (x_1, \dots, x_n), \mathbf{F} = (f_1, \dots, f_n), \mathbf{x}_j = \mathbf{x}(t_j). \quad (3)$$

Такие системы называют обычно *отображениями*, а иногда *каскадами*. В этом случае оператор эволюции представляет собой некоторую функцию, которая сопоставляет набор динамических переменных в момент времени  $t_n$  набору переменных в момент времени  $t_{n+1}$ .

Опр. Вектор-функцию  $F$  с областью определения в пространстве  $U$  и значениями  $V$   $F: U \rightarrow V$  вместе со своей обратной функцией  $F^{-1}$  называют гомеоморфизмом, если эта функция непрерывна и задаёт взаимно-однозначное отношение между  $U$  и  $V$ .

Опр. Если функция ещё и гладкая (дифференцируема хотя бы один раз), то  $F$  называют диффеоморфизмом.

### Решение ДС, траектория

- **Решение** — функция  $\mathbf{x}(t)$ , удовлетворяющая системе ОДУ.
- **Траектория** — кривая в фазовом пространстве, соответствующая решению.

Решение ДС:  $\varphi: R \times M \rightarrow M, t \in R, x_0 \in M, x(t) = \varphi(t, x_0)$ , где  $\varphi$ -поток.

## Решение точечного отображения

Последовательность точек  $\{x_n\}$ , полученная итерацией отображения  $x_{n+1} = F(x_n)$ . Пример:  $x_n = F^n(x_0)$ .

## Векторное поле

Функция  $\mathbf{f}(\mathbf{x})$ , задающая направление и скорость изменения состояния в каждой точке фазового пространства. Для системы  $\frac{d\mathbf{x}}{dt} = \mathbf{f}(\mathbf{x})$ , векторное поле — это  $\mathbf{f}(\mathbf{x})$ .

$\text{Diff}(M)$  — пространство ДС, где  $\text{Diff}$  - диффеоморфизм

## Пространство ДС

Фазовое пространство — множество всех возможных состояний системы. Например, для маятника:  $(\theta, \dot{\theta})$ .

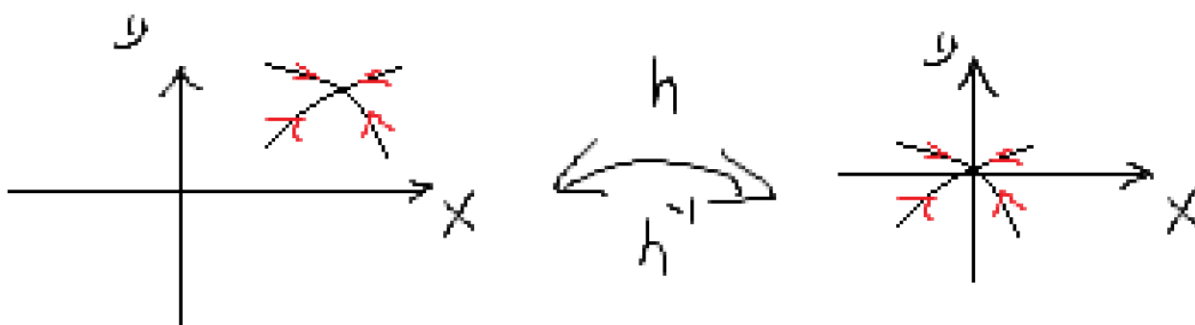
---

## Пространство параметров

Множество значений параметров, влияющих на поведение системы. Например, в логистическом отображении параметр  $r$  управляет переходом от стабильности к хаосу.

## Топологическая эквивалентность

Две системы топологически эквивалентны, если существует гомеоморфизм, переводящий траектории одной в траектории другой с сохранением направления времени. Пример: маятник с трением и без трения не эквивалентны.



$$\begin{array}{ccc}
 M & \xrightarrow{f_1} & M \\
 h \downarrow & & \downarrow h \\
 M & \xrightarrow{f_2} & M
 \end{array}
 \quad \text{— коммутативно}$$

$$f_1 \sim f_2$$

Грубые системы — это системы дифференциальных уравнений, у которых топологическое поведение траекторий не меняется при малых возмущениях правой части. Согласно общепринятой точке зрения только

$F_0$ -грубо, если в  $\text{DIFF}(M)$   $\exists$  окр.  $U_0(F_0)$ :  
 $\forall F_1 \in U_0(F_0): F_1 \sim F_0$

Точки, которые возвращаются в свою окрестность бесконечно часто при  $t \rightarrow \infty$ . Включают:

- Периодические орбиты,
- Состояния равновесия,
- Хаотические аттракторы.

Опр. Траектория для любой окрестности которой  $U(x)$  существует такое  $n$ , что  $F^n(U) \cap U \neq \emptyset$ .

$x(t)$  — цикл

$$\exists n/T: \forall U \text{ окр. } x(t) \quad F^n(U) \cap U \neq \emptyset$$

$$\varphi^T U \cap U \neq \emptyset$$

3. Состояния равновесия и неподвижные точки,  $k$ -кратные циклы. Диссипация. Консервативность. Устойчивость (по Ляпунову, орбитная, асимптотическая, по Лагранжу). Инвариантное многообразие. Системы первого порядка. Грубые и негрубые системы.

### Состояния равновесия и неподвижные точки

- **Состояние равновесия** — точка в фазовом пространстве непрерывной системы ( $\frac{dx}{dt} = f(x)$ ), где  $f(x^*) = 0$ . Пример: маятник в покое.
- **Неподвижная точка** — точка в дискретной системе ( $x_{n+1} = F(x_n)$ ), где  $F(x^*) = x^*$ . Пример:  $x = 0$  для отображения  $x_{n+1} = x_n$ .

## $k$ -кратные циклы

Цикл периода  $k$  в дискретных системах — последовательность из  $k$  точек  $\{x_1, x_2, \dots, x_k\}$ , где:

$$F(x_1) = x_2, F(x_2) = x_3, \dots, F(x_k) = x_1.$$

Пример: цикл периода 2 в логистическом отображении при  $r > 3$ .

## Диссипация и консервативность

- **Диссипативные системы** — теряют энергию (например, из-за трения). Фазовый объём сжимается. Пример: затухающий маятник.
- **Консервативные системы** — сохраняют фазовый объём (теорема Лиувилля). Пример: идеальный маятник без трения.

$$\begin{bmatrix} \dot{x} = 2x = f(x, y) \\ \dot{y} = -y = g(x, y) \end{bmatrix} \vec{F}(x, y)$$

$$\operatorname{div} \vec{F} = \operatorname{Tr}(\mathcal{J}) = \begin{vmatrix} \frac{\partial f}{\partial x} & \frac{\partial f}{\partial y} \\ \frac{\partial g}{\partial x} & \frac{\partial g}{\partial y} \end{vmatrix}$$

$$\operatorname{div} \vec{F} = 2 + (-1) = 1$$

$$\operatorname{div} \vec{F} \neq 0 \rightarrow \text{фазовый объём}$$

$$\bar{x} = F(x)$$

$$\det(F'_x(x)) \neq 0$$

## Типы устойчивости

1. **Устойчивость по Ляпунову** — малое возмущение начальных условий не приводит к уходу траектории далеко от точки.
2. **Асимптотическая устойчивость** — траектории не только остаются близко, но и стремятся к точке равновесия.
3. **Орбитная устойчивость** — устойчивость всей траектории (например, предельного цикла).
4. **Устойчивость по Лагранжу** — траектории остаются в ограниченной области фазового пространства. Пример: движение планет в Солнечной системе.

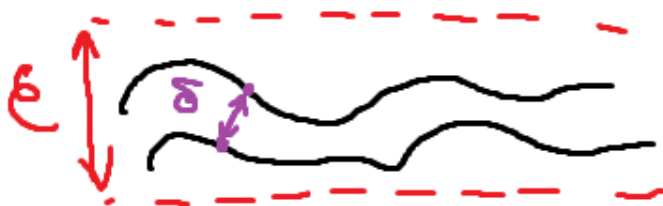
$\{\gamma = x \mid x = x^*(t)\}$  — уст. по Ляп., если:  
 $\forall \epsilon > 0: \exists \delta > 0: \forall x(t, x_0) \quad d(x_0, x^*(0)) < \delta$   
 $\Rightarrow d(x(t, x_0), x^*(t)) < \epsilon$



Уст асимпт.:  $d(x(t), \gamma) \xrightarrow{t \rightarrow +\infty} 0$



Уст. орбит.:  $d(x_0, x_0^*) < \delta \Rightarrow d(x(t), \gamma) < \epsilon$



Уст по Лагранжу:  $\|x^*(t)\| < R \quad t \rightarrow \pm\infty$

### Инвариантное многообразие

Подмножество фазового пространства, которое система переводит сама в себя.

- **Устойчивое многообразие** — траектории стремятся к точке равновесия.
- **Неустойчивое многообразие** — траектории удаляются от точки.

Пример: сепаратрисы в системе с седловой точкой.

$$W_p \subseteq M$$

$$x_0 \in W_p \Rightarrow \forall t \quad x(t) \in W_p$$

### Системы первого порядка

Динамические системы, описываемые дифференциальными уравнениями первого порядка:

$$\frac{dx}{dt} = f(x).$$

Пример: экспоненциальный рост  $\frac{dx}{dt} = rx$ .

### Грубые и негрубые системы

- **Грубые системы** — их качественное поведение (например, тип устойчивости) не меняется при малых возмущениях параметров. Пример: осциллятор с устойчивым предельным циклом.
- **Негрубые системы** — малые изменения параметров приводят к качественным изменениям (бифуркациям). Пример: система вблизи точки бифуркации Хопфа.

## 4. Осциллятор Ван-дер-Поля.

Уравнение осциллятора имеет вид:

$$\ddot{x} - \mu(1 - x^2)\dot{x} + x = 0,$$

где:

- $x$  — координата,
- $\mu > 0$  — параметр нелинейности и демпфирования.

## Особенности

### 1. Самовозбуждающиеся колебания:

- При малых  $x$  член  $-\mu(1 - x^2)\dot{x}$  работает как отрицательное демпфирование, увеличивая амплитуду.
- При больших  $x$  ( $|x| > 1$ ) демпфирование становится положительным, уменьшая амплитуду.
- Система стремится к **устойчивому предельному циклу** — периодической траектории с постоянной амплитудой.

### 2. Фазовый портрет:

- При  $\mu = 0$  — гармонический осциллятор (эллиптические орбиты).
- При  $\mu > 0$  — рождение предельного цикла (замкнутая кривая в фазовом пространстве).

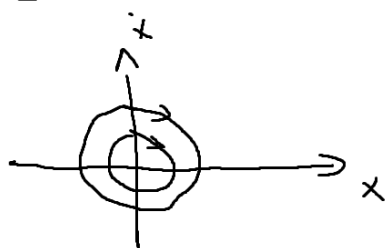
### 3. Устойчивость:

- Точка равновесия  $(x, \dot{x}) = (0, 0)$  является **неустойчивым фокусом** при  $\mu > 0$ .
- Все траектории, кроме начала координат, притягиваются к предельному циклу.

$$\begin{aligned} \ddot{x} + \epsilon(1 - x^2)\dot{x} + x &= 0 \\ \begin{cases} \dot{x} = y \\ \dot{y} = -\epsilon(1 - x^2)y - x \end{cases} \\ \begin{cases} x = \rho \cos \varphi \\ y = \rho \sin \varphi \end{cases} \end{aligned}$$

→ метод усредн. →  $\dot{\rho} \approx \frac{\epsilon \rho}{8}(4 - \rho^2)$

$$\epsilon = 0$$



$$\epsilon \ll 1$$





## 5. Бифуркации одномерных систем (биф. вилка, транскритическая биф.). Одномерные отображения.

### 1. Типы бифуркаций в одномерных системах:

- **Бифуркация вилка:**

Возникает, когда при изменении параметра одна точка равновесия разделяется на две новые.

**Пример:** Уравнение  $\frac{dx}{dt} = rx - x^3$ .

- При  $r < 0$ : одна устойчивая точка в  $x = 0$ .
- При  $r > 0$ : точка  $x = 0$  становится неустойчивой, появляются две устойчивые точки  $x = \pm\sqrt{r}$ .

- **Транскритическая бифуркация:**

Происходит обмен устойчивостью между двумя точками равновесия.

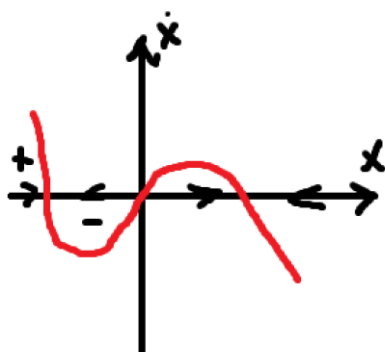
**Пример:** Уравнение  $\frac{dx}{dt} = rx - x^2$ .

- При  $r = 0$ : точка  $x = 0$  единственная.
- При  $r \neq 0$ : точки  $x = 0$  и  $x = r$ .
- При  $r < 0$ :  $x = 0$  устойчива,  $x = r$  неустойчива.
- При  $r > 0$ : наоборот.

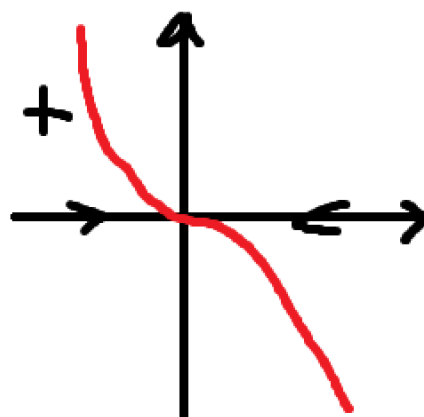


Вилка:  $\dot{x} = \lambda x + Lx^3 + \varepsilon$

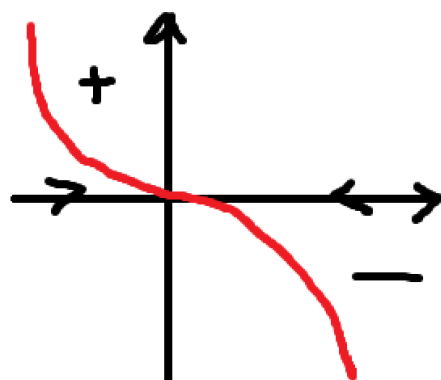
$L < 0, \lambda > 0$



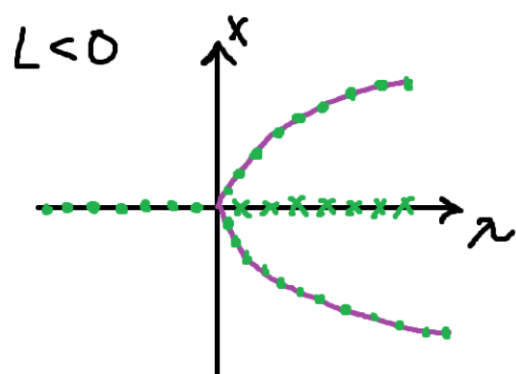
$L < 0, \lambda > 0$



$L < 0, \lambda = 0$



Седло-узловая:

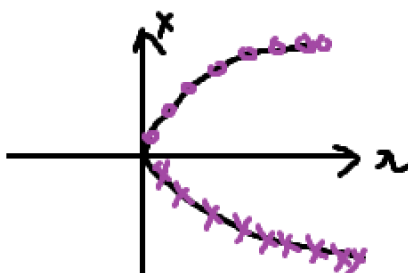


$$\dot{x} = \lambda - x^2$$

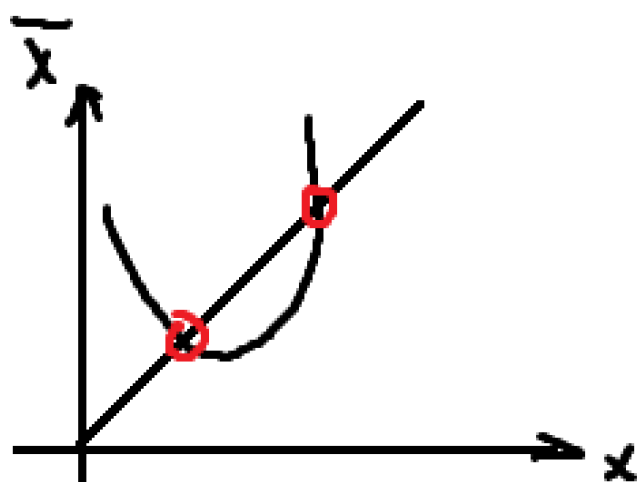
$$\lambda < 0$$



$$\lambda = 0$$



$$\dot{\bar{x}} = \lambda + x + x^2$$



## 2. Одномерные отображения:

Это дискретные системы вида  $x_{n+1} = f(x_n)$ .

**Пример:** Логистическое отображение  $x_{n+1} = rx_n(1 - x_n)$ .

- При увеличении параметра  $r$  возникают бифуркации удвоения периода (например, переход от устойчивой точки к циклу периода 2).
- Диаграмма бифуркаций показывает переход от порядка к хаосу через каскад бифуркаций.

---

## 3. Ключевые моменты:

- **Устойчивость:** Определяется через производную  $f'(x)$  в точке равновесия.
  - $|f'(x)| < 1$ : точка устойчива.
  - $|f'(x)| > 1$ : точка неустойчива.



## 6. Грубое отображения, Бифуркации отображения, Двумерные ДС и состояния равновесия в них, Бифуркации двумерных систем (Седлоузла, Андронова-Хопфа, Гомоклиническая).

**Грубое отображение** — это отображение, структурно устойчивое к малым возмущениям параметров. Его качественное поведение (например, количество и тип периодических точек) не меняется при небольших изменениях.

**Бифуркации отображений** — изменения структуры отображения при вариации параметра.

Двумерные ДС:  $\begin{cases} \dot{x}_1 = f_1(x_1, x_2) \\ \dot{x}_2 = f_2(x_1, x_2) \end{cases}$

Состояния равновесия находятся из  $\begin{cases} f_1(x_1, x_2) = 0 \\ f_2(x_1, x_2) = 0 \end{cases}$ .

Типы СР: узел ( $\lambda_1, \lambda_2$  действительны, различны, одного знака), седло ( $\lambda_1, \lambda_2$  действительны, различны, разных знаков), фокус ( $\lambda_1, \lambda_2$  комплексны, различны, одного знака), центр ( $\lambda_1, \lambda_2$  комплексны, действительная часть равна 0, разных знаков)

1. **Седлоузловая бифуркация:** Слияние седла и узла с последующим исчезновением.
2. **Бифуркация Андронова-Хопфа:** Рождение предельного цикла из устойчивого фокуса при изменении параметра.
3. **Гомоклиническая бифуркация:** Возникновение сложной динамики при пересечении устойчивого и неустойчивого многообразий седла.

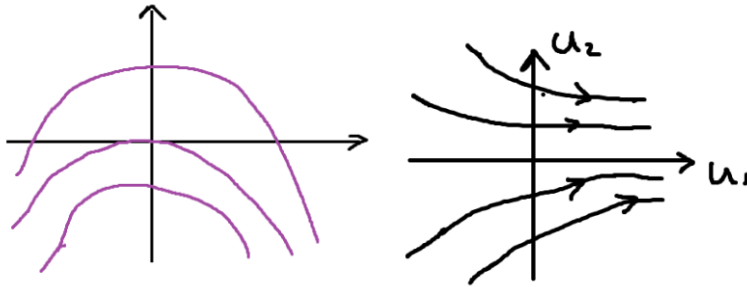
Седло-узел:

$$\begin{cases} \dot{x} = x - x^2 \\ \dot{y} = -y \end{cases} \text{ седло-узел}$$

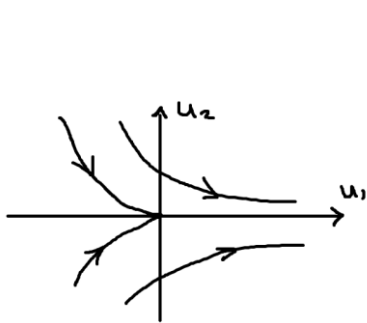
$$\begin{cases} \dot{u}_1 = \mu + u_1^2 \\ \dot{u}_2 = \lambda_1 u_2 \end{cases}$$

Бифуркация происходит в одном многообразии

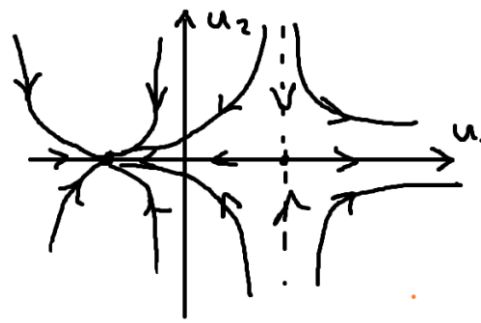
$$\mu < 0$$



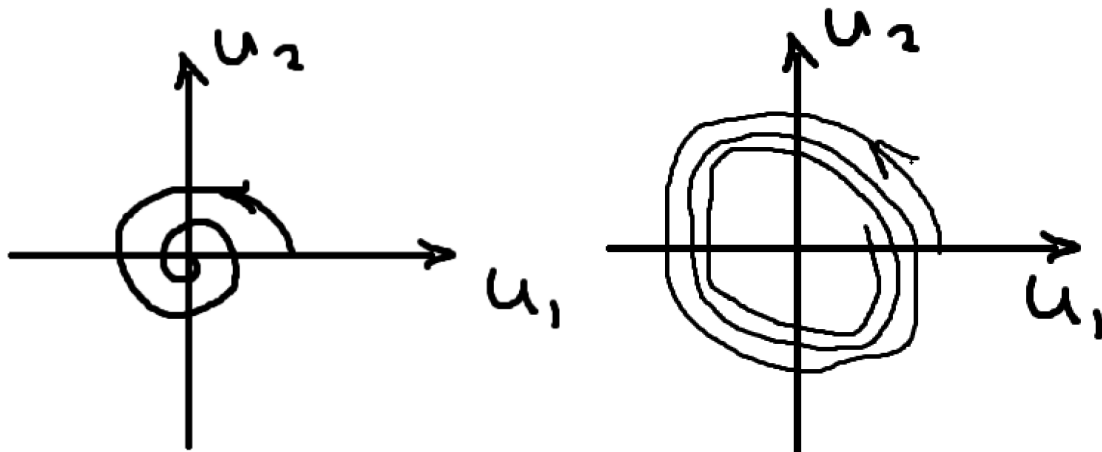
$$\mu = 0$$

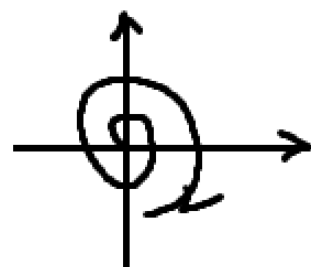
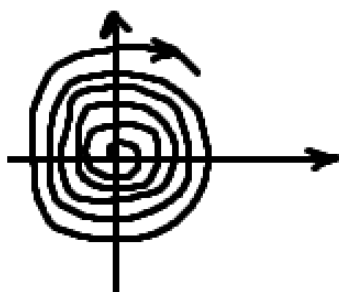
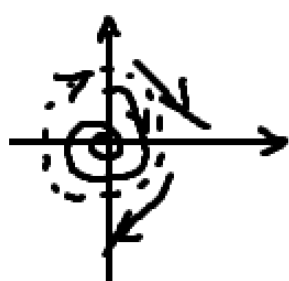
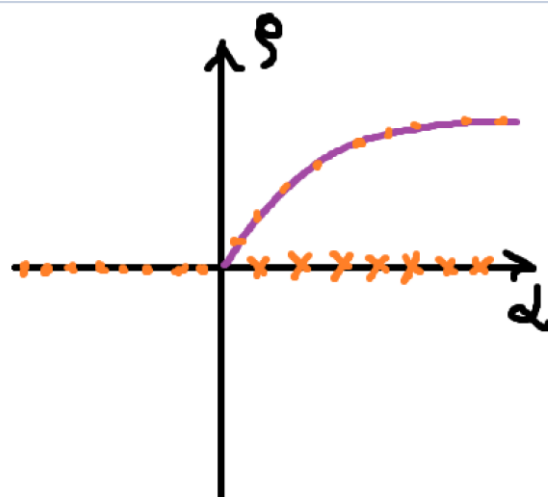
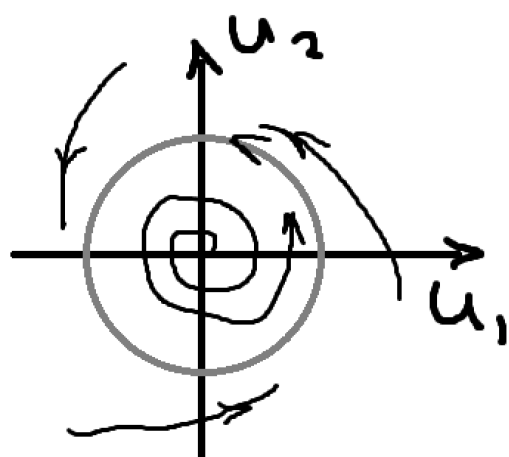


$$\mu > 0$$



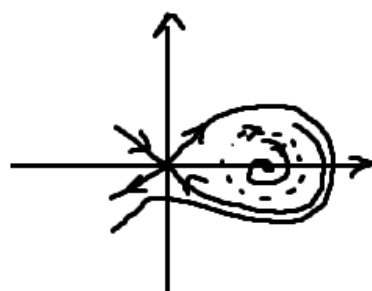
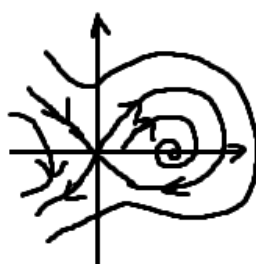
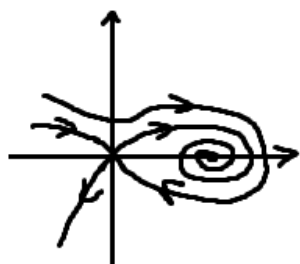
Андропова-Хопфа:



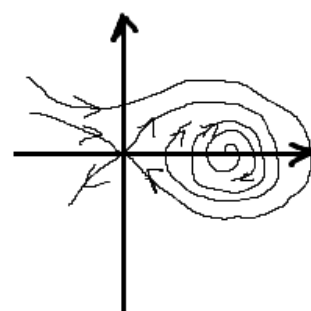
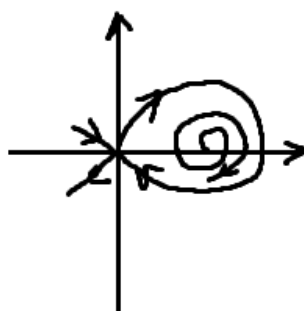
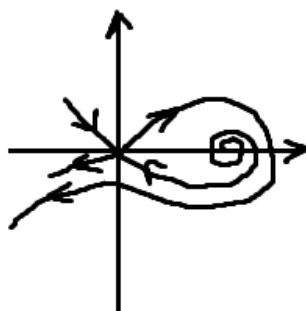


Биф. Амбр.-Леонтовича

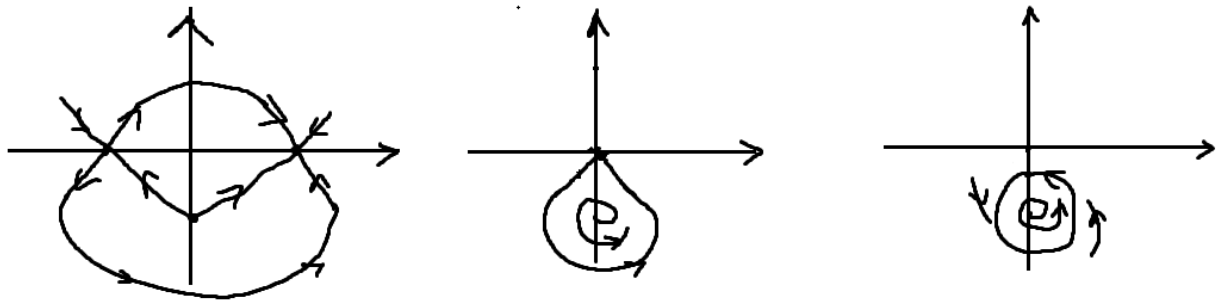
$\delta = \text{tr}(J) > 0$  — седловая величина



$\delta < 0$



Гомоклиническая:



8. Поворот поля. Кривая Трикоми в уравнении математического маятника.

Поворот поля угл. коэф.

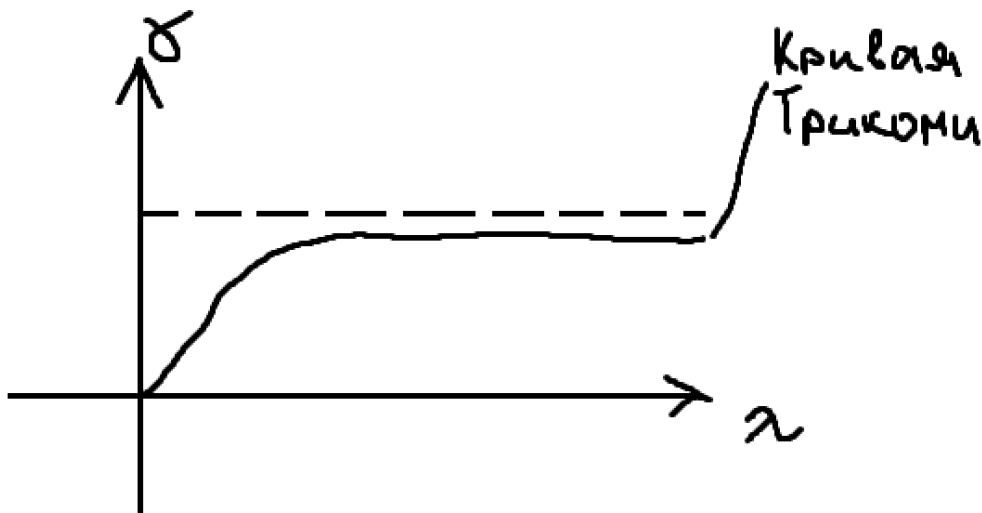
$$\begin{cases} \dot{x} = F(x, y, \mu) \\ \dot{y} = g(x, y, \mu) \end{cases} \Rightarrow \frac{dy}{dx} = \frac{g}{F} = k(x, y, \mu)$$

$k'_\mu > 0$  — поле поворачивается против часовой стрелки с ростом  $\mu$

$k'_\mu < 0$  — по часовой

$$\ddot{x} + \lambda \dot{x} + \sin x = \gamma - \text{мат. маятник.}$$

С помощью поворота поля можно доказать, что в мат. маятнике существует петля Трикоми (петля сепаратрисы седла).  $\lambda$  — поворачивает поле,  $\gamma$  — сближает корни



## 9. Метод функции Ляпунова, Критерий Бендиксона-Дюлака.

$$\dot{x} = F(x), F(0) = 0, x = 0 - \text{сост. рав.}$$

$$V = V(x), V(0) = 0, V(x) > 0 \quad \forall x \neq 0$$

$$\dot{V} = (\nabla \vec{V}, \vec{F}(x))$$

$$\dot{V}|_{V(x)=c} < 0 \quad V=c \text{ — пов без конт.} \\ \text{лим. ур.} \quad \text{поле ориент внутрь}$$

$$\dot{V}|_{V(x)=c} > 0 \quad V=c - \text{поле наружу}$$

$$\dot{V}|_{V(x) < c} < 0, \quad x=0 \text{ уст. в диске } V(x) \leq c$$

$$\dot{V}|_{V(x) > c} < 0, \quad x=0 \text{ неуст в диске } V(x) \leq c$$

Если  $D$  не меняет знак в области, то в этой области нет замкнутых интегральных кривых или не более одной кривой, охватывающей особенность. Обратное не значит, что они есть. Справедливо для 2D-систем.

## Крит. Бендиксона-Дюлака

$$B(x, y) \in C^k, k > 1$$

$$D = \frac{\partial (BF_1)}{\partial x} + \frac{\partial (BF_2)}{\partial y}$$

## 10. Уравнения на торе.

$$\begin{cases} \dot{\varphi}_1 = F_1(\varphi_1, \varphi_2) \\ \dot{\varphi}_2 = F_2(\varphi_1, \varphi_2) \end{cases}$$

$$\frac{\partial \varphi_2}{\partial \varphi_1} = F(\varphi_1, \varphi_2) = r \quad \text{лин. случ.}$$

$$\varphi_2 = r \varphi_1 + \varphi_2^0 = 2\pi \quad \text{т.к. тор} \quad / : 2\pi$$

$$\bar{x} = r + x \quad (\text{отобр. окружн.})$$

$$1) r \in \mathbb{Q}, \text{ период. орбита}$$

$$2) r = \frac{p}{q} \quad \varphi(t + q \frac{2\pi}{\omega}) = \varphi(t) + p \frac{2\pi}{\omega}$$

$$3) r \in \mathbb{R} \setminus \mathbb{Q} \Rightarrow \text{весь тор}$$

11. Число вращения Пуанкаре.

$$\varphi = \omega t$$

$$\dot{\varphi} = F(\varphi, \omega t)$$

$$r = \lim_{t \rightarrow \infty} \frac{\varphi(\varphi_0, t)}{\omega t}$$



Сб-ва

1)  $r$  не зависит от  $\varphi_0$

2)  $r = \frac{q}{p}$  т.е.  $r \in \mathbb{Q} \Leftrightarrow$  сист. имеет период. реш

$$\varphi(t + p \frac{2\pi}{\omega}) = \varphi(t) + q 2\pi$$

3)  $\varphi$ -игра  $\Rightarrow \exists$  квазипериод. обмотка

4)  $h(\varphi_0) = \varphi^*(p \frac{2\pi}{\omega}, \varphi_0) - 2\pi q - \varphi_0$  — меняет знак, то  
такое  $r$  — уст.

5) ур-е эргодиче, если  $r$ -уст,  $h(\varphi_0)$  — простой (нет кратных корней)

12. Системы третьего порядка и состояния равновесия в них.

$$Z^3 + \dots = 0$$

1) 3 действ. корня

2) 2 комплексных + 1 действ.

13. Теорема Адамара-Перрона, теорема о центральном многообразии. Бифуркации трёхмерных систем. Периодические движения в двухмерной неавтономной системе. Матрица монодромии. Теорема Флойда.

$$\begin{cases} \dot{x}_1 = f_1(x_1, x_2, t) \\ \dot{x}_2 = f_2(x_1, x_2, t) \end{cases} \quad \text{есть такая система}$$

$$X^*(t + \tau) = X^*(t) \quad \text{если есть периодическая траектория}$$

линеаризуем её в окрестности этой траектории

$$\dot{u} = A(t)u, \quad A(\tau) - \text{матр. монодромии}$$

перес.  
матр

$$\det A(\tau) = \exp \int_0^\tau \text{Tr}(A(t)) dt$$

с.з.  $\mathbb{R}_{1,2}$

Т. Флоке уяв., что можем записать решение в следующем виде:

$$u(t) = p(t) e^{\lambda t}, \quad \text{где } \lambda = \frac{1}{\tau} \ln s$$

## 1. Теорема Адамара-Перрона и центральное многообразие

**Теорема Адамара-Перрона** утверждает, что в окрестности гиперболической неподвижной точки динамическая система локально топологически сопряжена своей линеаризации. Это позволяет разделить фазовое пространство на:

- **Устойчивое многообразие  $W^s$** : траектории стремятся к точке.
- **Неустойчивое многообразие  $W^u$** : траектории удаляются от точки.

т.е. с.р касается плоскости, заданной двумя ближайшими к нему собств. числами.

---

**Теорема о центральном многообразии** дополняет это, вводя третье многообразие:

- **Центральное многообразие  $W^c$** : содержит траектории с нейтральной устойчивостью (например, периодические или квазипериодические).

Уравнение для  $W^c$  вблизи точки равновесия:

$$\dot{z} = Az + f(z, y), \quad \dot{y} = By + g(z, y),$$

где  $A$  имеет собственные значения с нулевой вещественной частью, а  $B$  — гиперболические.

## 2. Бифуркации трёхмерных систем

В трёхмерных системах возникают сложные бифуркации, такие как:

- **Бифуркация Хопфа** в 3D: рождение предельного цикла из равновесия.  
Условие: пара комплексных собственных значений пересекает мнимую ось.
- **Седло-узловая бифуркация**: исчезновение/рождение пары равновесий.
- **Бифуркация удвоения периода**: переход от периодического движения к хаосу.

Пример для системы Лоренца:

$$\begin{cases} \dot{x} = \sigma(y - x), \\ \dot{y} = x(\rho - z) - y, \\ \dot{z} = xy - \beta z, \end{cases}$$

где  $\rho$  — параметр, при критическом значении которого происходит бифуркация.

### 3. Периодические движения в двумерной неавтономной системе

Рассмотрим систему с периодическим возмущением:

$$\begin{cases} \dot{x} = f(x, y) + \epsilon \cos(\omega t), \\ \dot{y} = g(x, y) + \epsilon \sin(\omega t). \end{cases}$$

Для анализа используются:

- **Метод усреднения:** замена быстрых осцилляций на средние значения.
- **Теория Пуанкаре-Бендиксона:** в двумерных автономных системах гарантирует существование предельных циклов, но для неавтономных систем требуется модификация.

### 4. Матрица монодромии и теорема Флоке

**Матрица монодромии**  $M$  строится для периодической траектории с периодом  $T$ . Она описывает эволюцию малых возмущений за один период:

$$M = \Phi(T),$$

где  $\Phi(t)$  — фундаментальная матрица решений линеаризованной системы.

**Теорема Флоке** утверждает, что решение линейной системы с периодическими коэффициентами можно представить в виде:

$$X(t) = P(t)e^{Rt},$$

где  $P(t)$  — периодическая матрица с периодом  $T$ , а  $R$  — постоянная матрица.

**Мультипликаторы Флоке** — собственные значения матрицы  $M$ . Если все мультипликаторы лежат внутри единичной окружности, периодическое движение устойчиво.

### 5. Взаимосвязь концепций

- **Центральное многообразие** упрощает анализ бифуркаций в 3D, сводя задачу к меньшей размерности.
- **Матрица монодромии и теорема Флоке** используются для исследования устойчивости периодических решений в неавтономных системах.
- **Бифуркации** в трёхмерных системах часто связаны с изменением структуры центрального многообразия.

**Пример:** В системе Ван-дер-Поля с шумом:

$$\ddot{x} + \epsilon(x^2 - 1)\dot{x} + x = \epsilon\gamma \cos(\omega t),$$

бифуркация Хопфа и теория Флоке помогают предсказать переход от хаотических колебаний к синхронизированным.

14. Двумерное отображение в общем виде, типы и расположение неподвижных точек.

$$\begin{cases} \bar{x}_1 = ax_1 + bx_2 \\ \bar{x}_2 = cx_1 + dx_2 \end{cases}$$

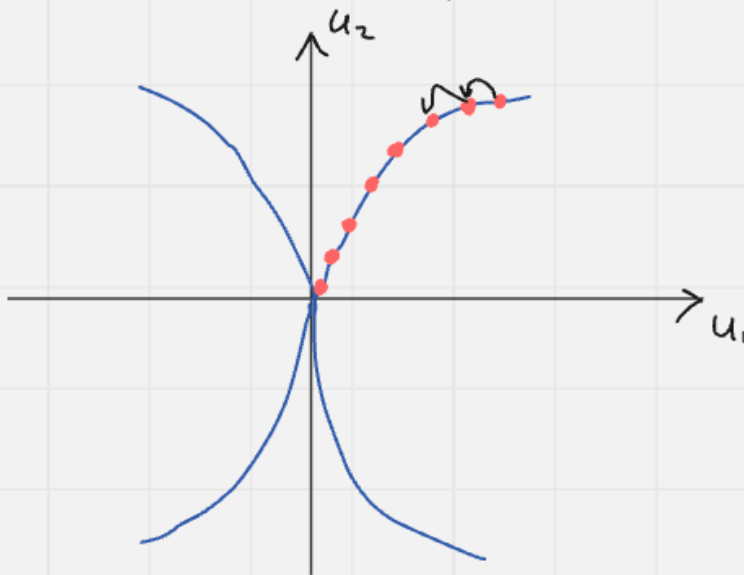
$$\bar{x} = Ax$$

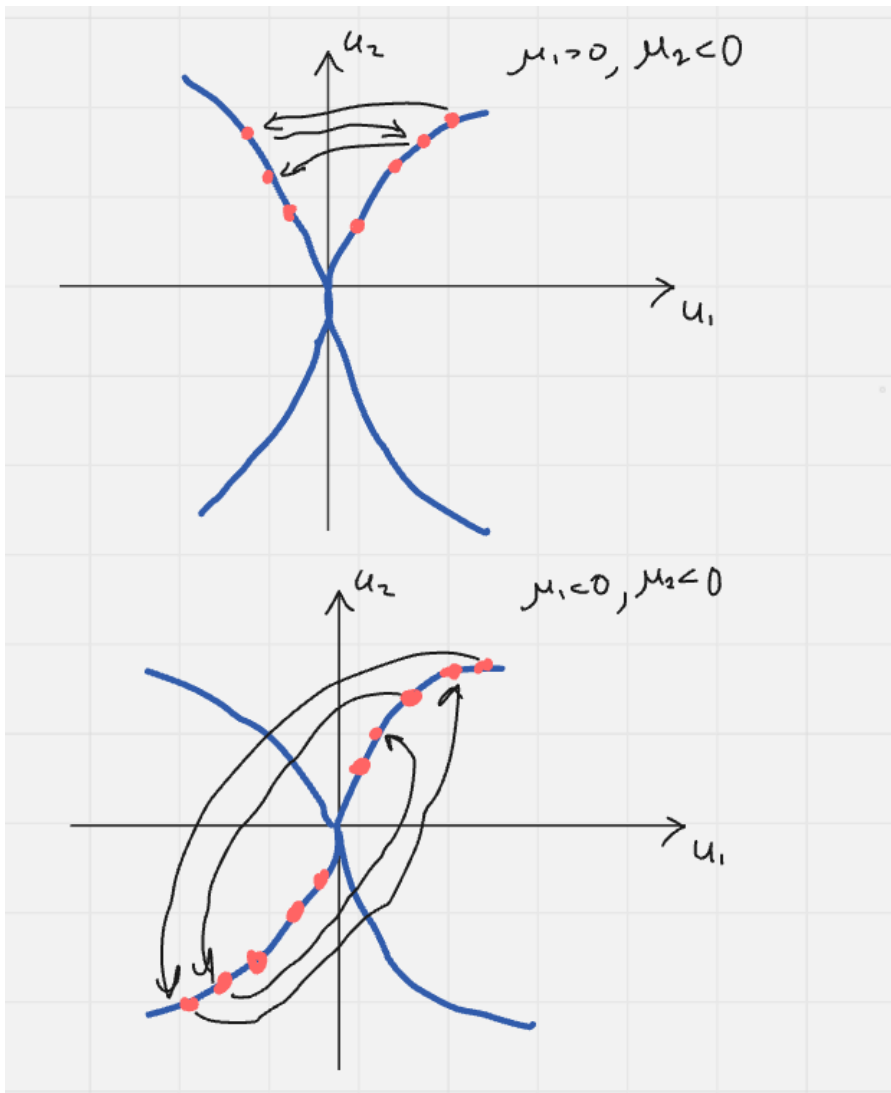
Смотрим относительно единичной окружности  
В остальном совпадает с потоком

Так же важны знаки. От этого зависит как мы прыгаем по веткам

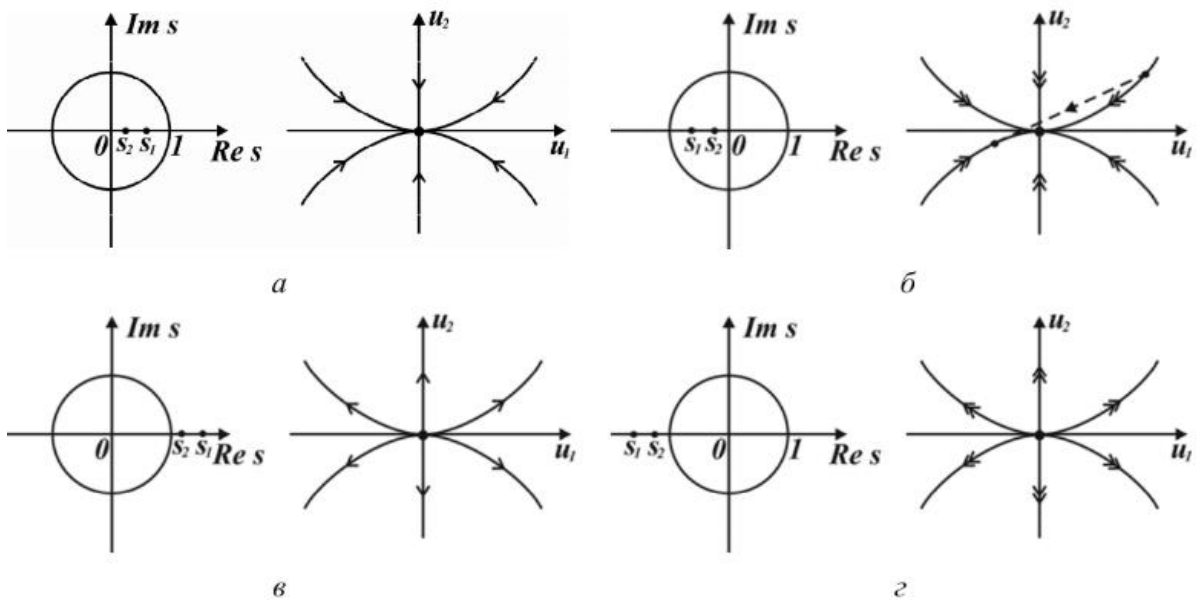
$$\begin{aligned} \bar{u}_1 &= \mu_1 u_1 \\ \bar{u}_2 &= \mu_2 u_2 \end{aligned}$$

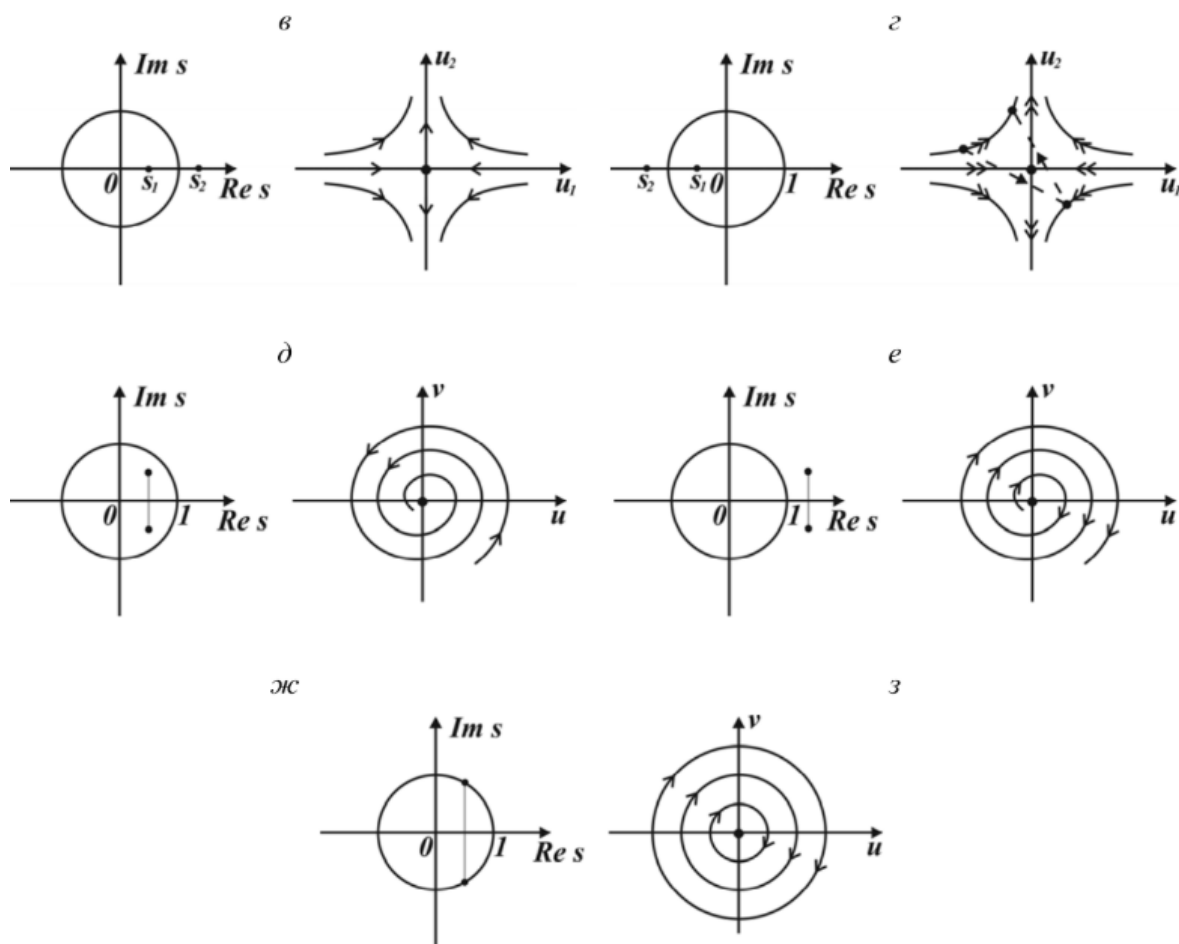
$$\mu_1, \mu_2 > 0$$





С фокусами будет мракобесие, но примерно похожее на это





15. Бифуркация Неймарка-Сакера. Осциллятор Стюарта-Ландау.

В системе не должно быть сильных резонансов  
 $\mu = e^{ik\omega}$ ,  $k=1,2,3,\dots$   

$$\begin{cases} \dot{x}_1 = F_1(x_1, x_2, \varepsilon) \\ \dot{x}_2 = F_2(x_1, x_2, \varepsilon) \end{cases}$$

Тригонометрическая замена

$$\bar{z} = (1 + \varepsilon) e^{-i\theta} z + c(\varepsilon) z |z|^2 + \dots$$

$$L = \operatorname{Re}\{e^{-i\theta} c(\varepsilon)\}$$

Аналог первой ляпуновской величины

	$\varepsilon < 0$	$\varepsilon = 0$	$\varepsilon > 0$
$L > 0$			
$L < 0$			

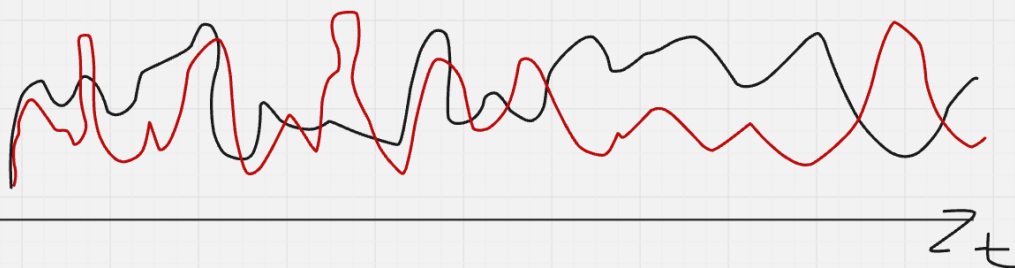
Аналог бифуркации Андро-Хопфа, только тут она происходит в двумерном подпространстве, и рождается(умирает) тор



16. Динамический хаос. Детерминированная система. Отображения растягивающие, топологически транзитивные, чувствительно-зависимые от начальных условий.

**Динамический хаос** — это явление в детерминированных нелинейных системах, при котором их поведение кажется случайным и непредсказуемым, несмотря на полное отсутствие стохастических воздействий. Это свойство возникает из-за экспоненциальной чувствительности к начальным условиям и сложной структуры фазового пространства.

## Динамический хаос



Нет ни периода, ни квази периода. Вообще хз как это всё предугадывать +чуть-чуть поменяли начальные условия, система ведет себя совсем по другому

**Детерминированная система** — это система, в которой будущее состояние полностью определяется её текущим состоянием и заданными законами эволюции, без участия случайных факторов.

### 1. Растягивающие отображения

Это отображения, которые увеличивают расстояние между близкими точками в фазовом пространстве. В контексте динамического хаоса это свойство обеспечивает экспоненциальное расхождение траекторий.

- **Пример:** Логистическое отображение  $x_{n+1} = rx_n(1 - x_n)$  при  $r > 3.57$ .
- **Математически:** Для двух близких начальных условий  $x_0$  и  $x_0 + \delta$ :

$$|f^n(x_0) - f^n(x_0 + \delta)| \approx \delta \cdot e^{\lambda n},$$

где  $\lambda > 0$  — показатель Ляпунова.

опр. Отображение  $F$  называется растягивающим на множестве  $J$ , если существует такое  $\delta > 0$ , что для любых  $x, y$  из  $J$  существует  $n$ :  $d(F^n(x), F^n(y)) \geq \delta$

### 2. Топологическая транзитивность

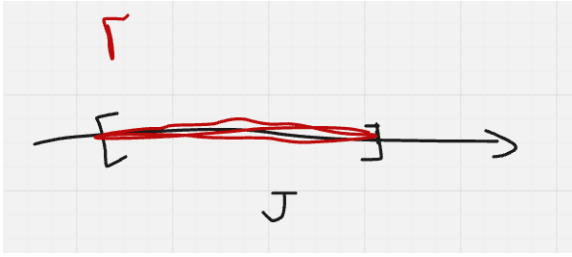
Система называется топологически транзитивной, если для любых двух открытых множеств  $U$  и  $V$  в фазовом пространстве существует момент времени  $n$ , такой что:

$$f^n(U) \cap V \neq \emptyset.$$

Это означает, что траектории могут попасть из любой области фазового пространства в любую другую.

Опр. Отображение  $F$  на  $J$  (вроде инвариантное множество) называется топологически транзитивным, если существует такая орбита, что её замыкание равно всему инвариантному интервалу.





### 3. Чувствительная зависимость от начальных условий

Существует константа  $\delta > 0$ , такая что для любой точки  $x$  и её окрестности  $U$  найдётся точка  $y \in U$  и момент времени  $n$ , для которых:

$$|f^n(x) - f^n(y)| > \delta.$$

Это формализует "эффект бабочки": малые различия в начальных данных приводят к значительным изменениям в будущем.

Опр. Отображение  $F$  имеет чувствительную зависимость от начальных условий, если  $\exists \alpha > 0 \forall x_0 \in J \forall \varepsilon > 0 \exists y_0 \in \varepsilon: d(x, y) < \varepsilon, d(x(t), y(t)) > \alpha, \forall t$

### 17. Целая траектория. Аттрактор. Максимальный аттрактор. Устойчивые и неустойчивые множества. Множество Кантора.

Целая траектория – траектория принадлежащая аттрактору и при  $t \rightarrow +\infty$  и при  $t \rightarrow -\infty$

#### 1. Целая траектория

Целая траектория в динамической системе — это функция  $\gamma: \mathbb{R} \rightarrow X$ , где  $X$  — фазовое пространство, удовлетворяющая уравнению эволюции системы для всех моментов времени  $t \in \mathbb{R}$ .

Аттрактор – притягивающее подмножество фазового пространства. Притягивает в какой-то окрестности

#### 2. Аттрактор

Аттрактор — это компактное инвариантное множество  $A \subset X$ , обладающее свойствами:

- **Притяжение:** Существует окрестность  $U \supset A$ , такая что все траектории, начинающиеся в  $U$ , стремятся к  $A$  при  $t \rightarrow \infty$ .
- **Неразложимость:** Аттрактор минимален — не содержит меньших аттракторов.

Максимальный аттрактор. Пусть  $D$ -поглощающая область динамической системы  $fD \subset D$ , тогда множество  $A = \bigcup_{t \geq 0} f^t D$  — это максимальный аттрактор в множестве  $D$ .

#### 3. Максимальный аттрактор

Максимальный аттрактор — это наибольший по включению аттрактор в системе, который притягивает все траектории из всего фазового пространства (или его значительной части).

- **Формально:**  $A_{\max} = \bigcap_{t \geq 0} \Phi^t(X)$ , где  $\Phi^t$  — поток системы.

#### 4. Устойчивые и неустойчивые множества

- **Устойчивое множество**  $W^s(A)$ :

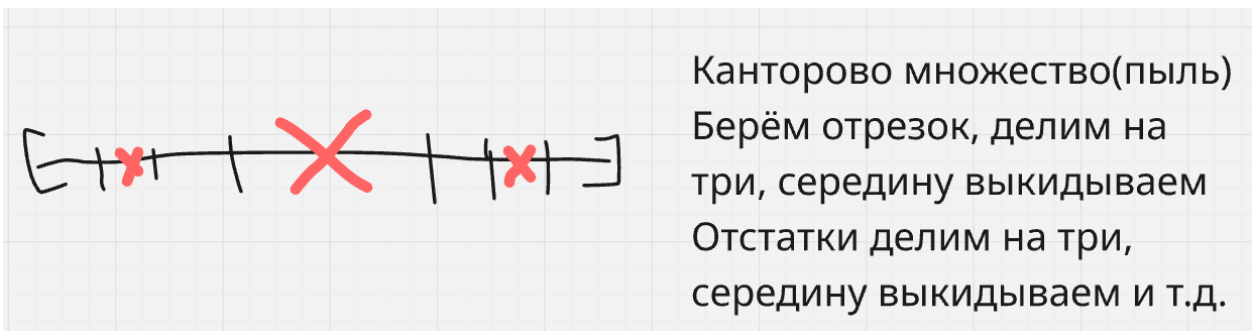
Множество точек  $x \in X$ , таких что  $\Phi^t(x) \rightarrow A$  при  $t \rightarrow \infty$ .

$$W^s(A) = \left\{ x \in X \mid \lim_{t \rightarrow +\infty} \text{dist}(\Phi^t(x), A) = 0 \right\}.$$

- **Неустойчивое множество**  $W^u(A)$ :

Множество точек  $x \in X$ , таких что  $\Phi^t(x) \rightarrow A$  при  $t \rightarrow -\infty$ .

$$W^u(A) = \left\{ x \in X \mid \lim_{t \rightarrow -\infty} \text{dist}(\Phi^t(x), A) = 0 \right\}.$$



18. Странный ~~и квазистранный~~ аттракторы. Показатель Ляпунова, Отображение “тент”. ~~Соленид Смейла Вильямса.~~

Странные аттрактор - притягивающее множество целых неустойчивых траекторий.

Показатель Ляпунова показывает степень расхождения изначально близких траекторий. Для точечных отображений:

$$\Lambda = \lim_{n \rightarrow \infty} \frac{1}{n} \ln |\mu_n| = \dots = \lim_{n \rightarrow \infty} \frac{1}{n} \sum_{k=1}^n f'(x_k)$$

$\Lambda > 0$  - хаос

Зуб пилы, равномерное перемешивание, есть орбиты всех периодов.

Если число действительное, то ему соответствует периодическая орбита, если комплексное – квазипериодическая.

Соответствует сдвигу запятой в двоичном числе.

20. Лоренцевское отображение.

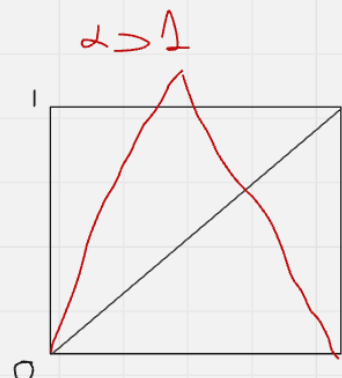
$$\bar{x} = \begin{cases} 2\alpha x, & 0 < x \leq \frac{1}{2} \\ 2\alpha(1-x), & \frac{1}{2} < x \leq 1 \end{cases}$$



Просто устойчивая точка



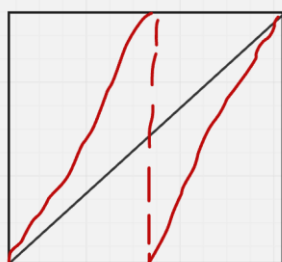
инвариантный интервал  
странный аттрактор



через окошко убегают почти  
все траектории, останется  
Канторова пыль  
Вроде тут динамический хаос

$2\alpha = 1$  континуум устойчивых точек

$$\bar{x} = 2x \pmod{1}$$



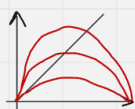
$\Lambda = \ln 2 > 0$   
Хаос

19. Отображение “сдвиг Бернулли”.

21. Логистическое отображение (орбита периода 2, каскад удвоений, хаос) и замена для получения отображения “тент”.

Логист. отоб.

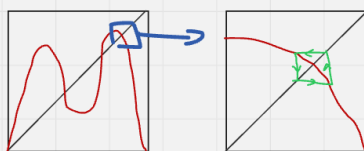
$$\bar{x} = ax(1-x)$$

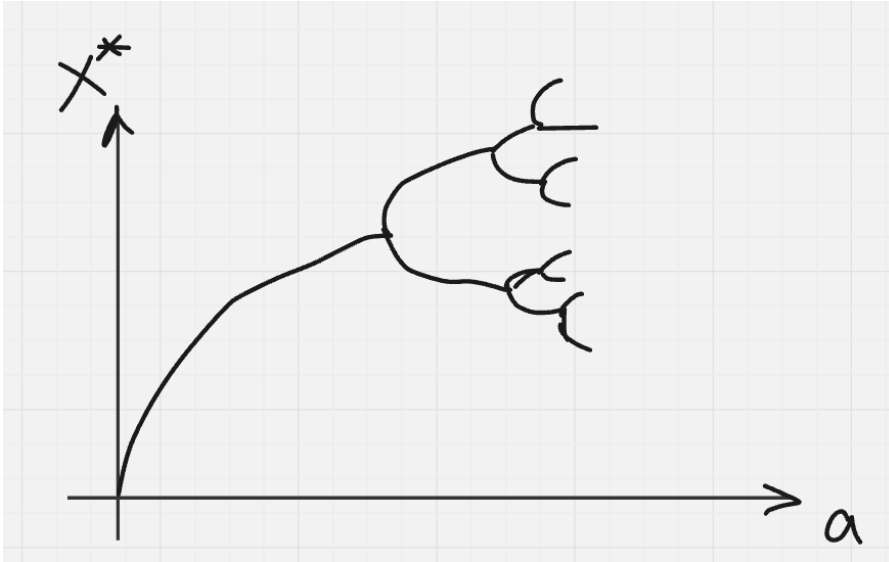


При возникновении второго корня:  
седло-узловая бифуркация/транскритическая  $a=1$   
При  $a=2$   $x_1^* = \frac{1}{2}$   $\mu_{x_1} = 0 \Rightarrow x_1$  — суперустойчива

В какой-то момент возникнет  
орбита периода 2  $a=3$

Дальше бифуркация удвоения периода





**Задача 4.8.8.** При каком  $a$  отображение окружности  $\bar{\varphi} = \phi + a \sin \varphi$  является гомеоморфизмом?

Обоснование:

1. **Производная отображения:**

$$\frac{d\bar{\varphi}}{d\varphi} = 1 + a \cos \varphi.$$

Для сохранения монотонности (инъективности) производная должна быть положительна для всех  $\varphi$ :

$$1 + a \cos \varphi > 0 \quad \forall \varphi.$$

2. **Экстремальные значения:**

◦ При  $\cos \varphi = 1$ :

$$1 + a > 0 \implies a > -1.$$

◦ При  $\cos \varphi = -1$ :

$$1 - a > 0 \implies a < 1.$$

Объединяя эти условия, получаем:

$$-1 < a < 1.$$

3. **Последствия:**

- Если  $|a| < 1$ , отображение строго возрастает, биективно и имеет непрерывное обратное.
- Если  $|a| \geq 1$ , производная обращается в ноль или отрицательна, что нарушает инъективность (например, при  $a = 1$ , в точке  $\varphi = \pi$ :  $\frac{d\bar{\varphi}}{d\varphi} = 0$ ).

**Задача 4.8.9.** При каком  $k$  отображение

$$\begin{aligned}\bar{x} &= kx, & \text{при } 0 \leq x \leq \frac{1}{2}, \\ \bar{x} &= 4(1-k)x^2 + (5k-4)x - k + 1, & \text{при } \frac{1}{2} < x \leq 1,\end{aligned}$$

является диффеоморфизмом отрезка  $[0, 1]$ ?

**Обоснование:**

1. **Непрерывность и дифференцируемость в точке  $x = \frac{1}{2}$ :**

- Значение функции слева и справа:

$$\bar{x}\left(\frac{1}{2}\right) = \frac{k}{2}.$$

- Производная слева:  $k$ , производная справа:  $k$ .

Условия выполняются при любом  $k$ .

2. **Монотонность (положительность производной):**

- Для  $0 \leq x \leq \frac{1}{2}$ :

$$\frac{d\bar{x}}{dx} = k > 0 \implies k > 0.$$

- Для  $\frac{1}{2} < x \leq 1$ :

Производная  $\frac{d\bar{x}}{dx} = 8(1-k)x + (5k-4)$  должна быть положительна на всём интервале.

Минимум достигается при  $x = \frac{1}{2}$ :

$$\frac{d\bar{x}}{dx}\left(\frac{1}{2}\right) = k > 0.$$

Максимум при  $x = 1$ :

$$\frac{d\bar{x}}{dx}(1) = 4 - 3k > 0 \implies k < \frac{4}{3}.$$



3. **Биективность:**

При  $0 < k < \frac{4}{3}$  отображение строго возрастает и переводит  $[0, 1]$  в  $[0, 1]$ , что гарантирует биективность.

4. **Обратимость:**

Положительная производная на всём отрезке обеспечивает существование дифференцируемой обратной функции.